

SUPPLEMENTARY INFORMATION

Synthesis of BiVO₄ via oxidant peroxo-method: Insights into the photocatalytic performance and degradation mechanism of pollutants

Osmando F. Lopes^{a,b}, Kele T. G. Carvalho^b, Gabriel K. Macedo^c, Vagner R. de Mendonça^d, Waldir Avansi Jr.^{e,*}, Caue Ribeiro^b

¹ *Departamento de Química, Universidade Federal de São Carlos - UFSCar, Rod. Washington Luiz, km 235, CEP 13565-905 São Carlos-SP, Brasil.*

² *Laboratório Nacional de Nanotecnologia para o Agronegócio (LNNA) - Embrapa Instrumentação, Rua XV de Novembro, 1452, CEP 13560-970 São Carlos-SP, Brasil.*

³ *Instituto de Química de São Carlos, Universidade de São Paulo – USP, Av. Trabalhador São Carlense, 400, CEP 13560-970 São Carlos-SP, Brasil*

⁴ *Instituto Federal de São Paulo, IFSP – Itapetininga-SP, Brasil*

⁵ *Departamento de Física, Universidade Federal de São Carlos, Rod. Washington Luiz, km 235, CEP 13565-905 São Carlos-SP, Brasil.*

*Corresponding author's email address: (W. Avansi Jr.) w_avansi@yahoo.com.br
(O. F. Lopes) osmando_iq@hotmail.com

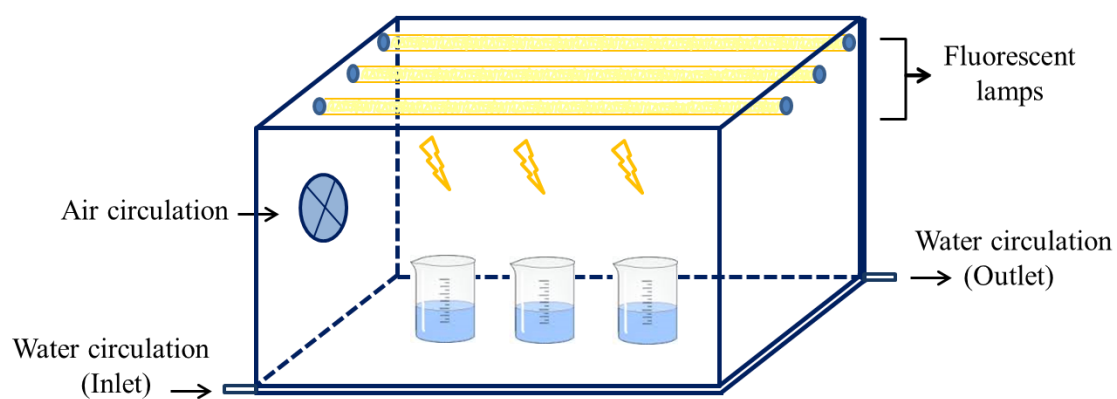


Fig S1. Schematic diagram of homemade photo-reactor used in photocatalytic experiments.

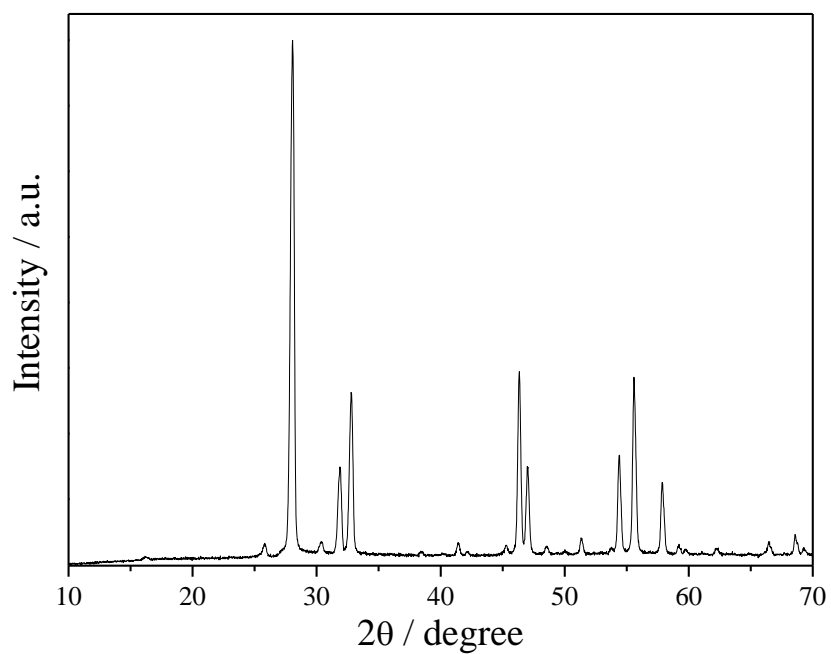


Fig. S2. Typical XRD pattern of tetragonal Bi_2O_3 commercial nanopowder.

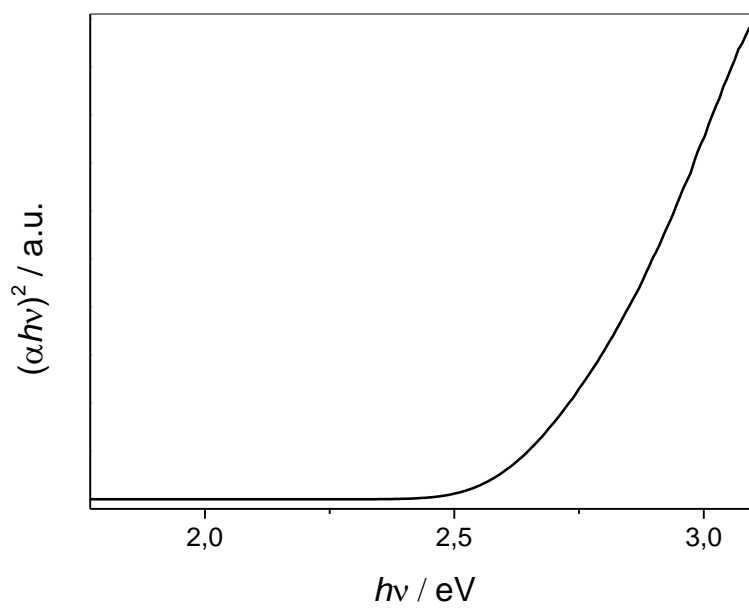


Fig. S3. Plots of $(\alpha h\nu)^2$ vs. photon energy ($h\nu$) obtained by Tauc equation from DRS spectra to tetragonal Bi_2O_3 commercial.

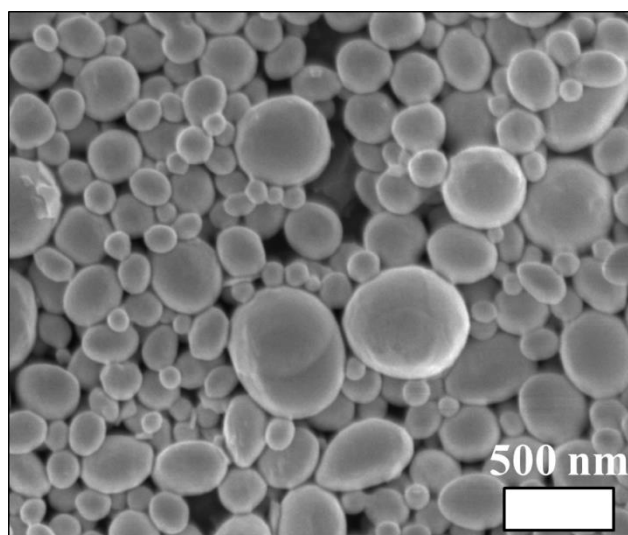


Fig. S4. SEM images of tetragonal Bi_2O_3 commercial nanopowder.

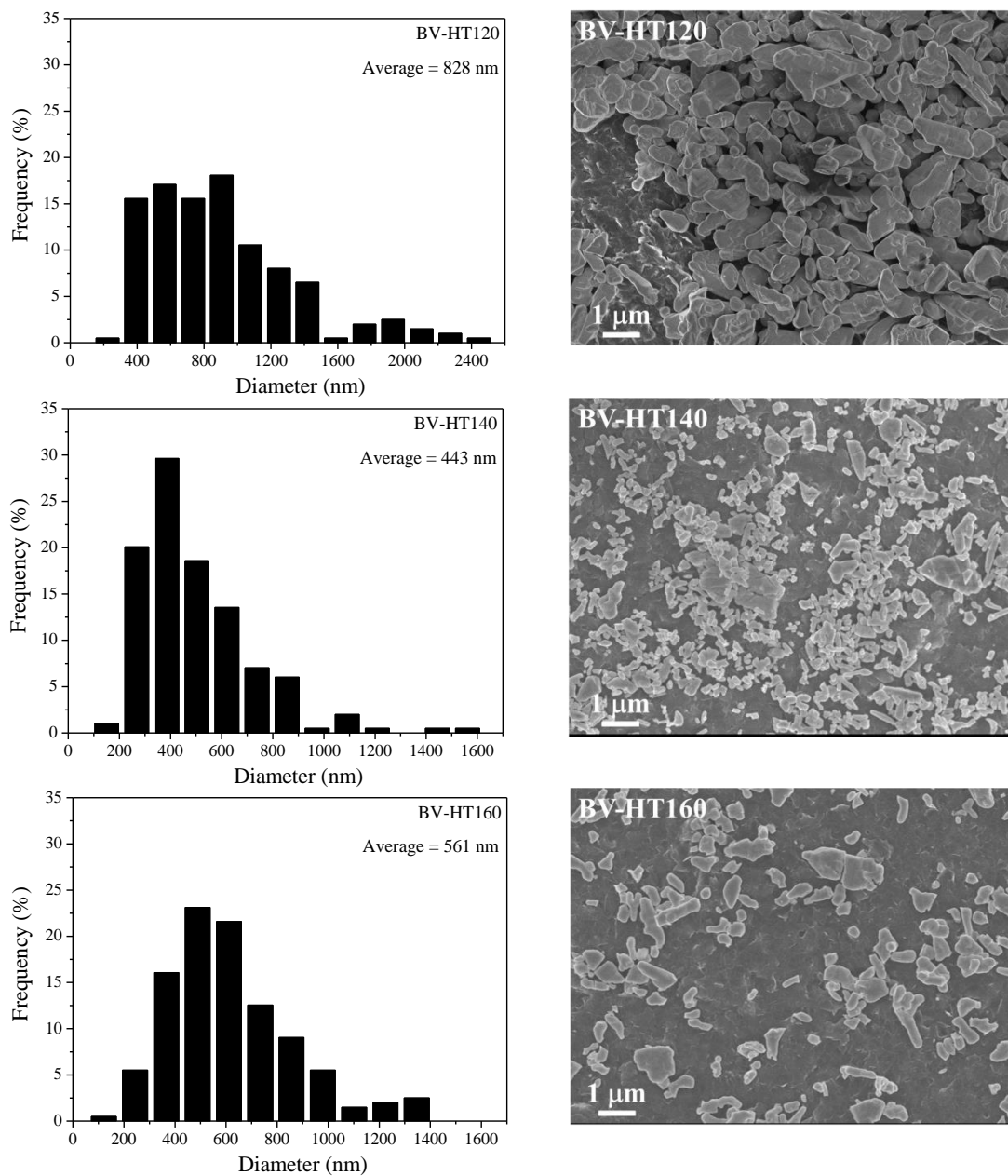


Fig. S5. The size distribution of the particles and their respectively SEM images of as-synthesized samples of BiVO_4 .